



CentraleSupélec



Séminaire des doctorants de deuxième année
**Solveurs performants pour les
fonctionnelles énergétiques**

Naoufal NIFA

Directeur de thèse : Denis AUBRY

Superviseur industriel : Mathieu CORUS

14/04/2016

Plan

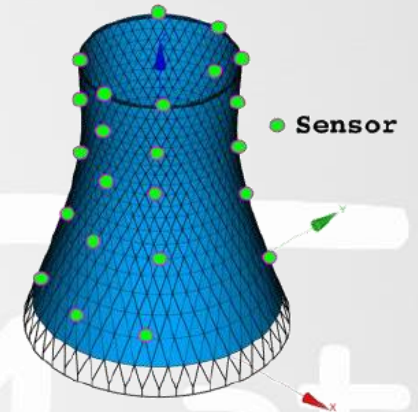
1. Motivation

2. Renumérotation

3. Pivotage

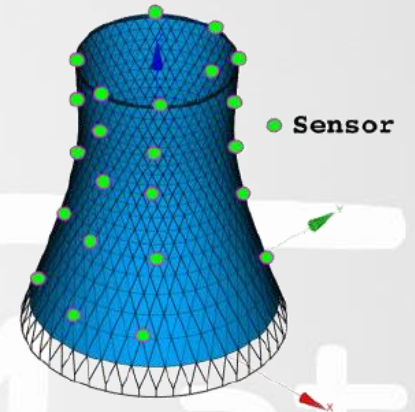
Contexte du problème

- Modèle numériques EF $(M(\theta), K(\theta)) \sim 10^6 \text{ ddl}$ $\Rightarrow (\varphi_\theta, \omega_\theta)$
- Essais expérimentaux ~ 100 points de mesures $\Rightarrow (\varphi_t, \omega_t)$



Contexte du problème

- Modèle numériques EF $(M(\theta), K(\theta)) \sim 10^6 \text{ ddl}$ $\Rightarrow (\varphi_\theta, \omega_\theta)$
- Essais expérimentaux ~ 100 points de mesures $\Rightarrow (\varphi_t, \omega_t)$



CentraleSupélec

Minimiser

$$E_\omega^2(\varphi, \psi, \theta) =$$

Energie potentielle
élastique du
champ d'erreur
 $\psi K(\theta) \psi$

+

Distance entre
les mesures et les calculs

$$\frac{r}{1-r} (\Pi\varphi - \phi_t)^T K_r (\Pi\varphi - \phi_t)$$

Contraintes

$$K(\theta) \psi = (K(\theta) - \omega_t^2 M(\theta)) \varphi$$

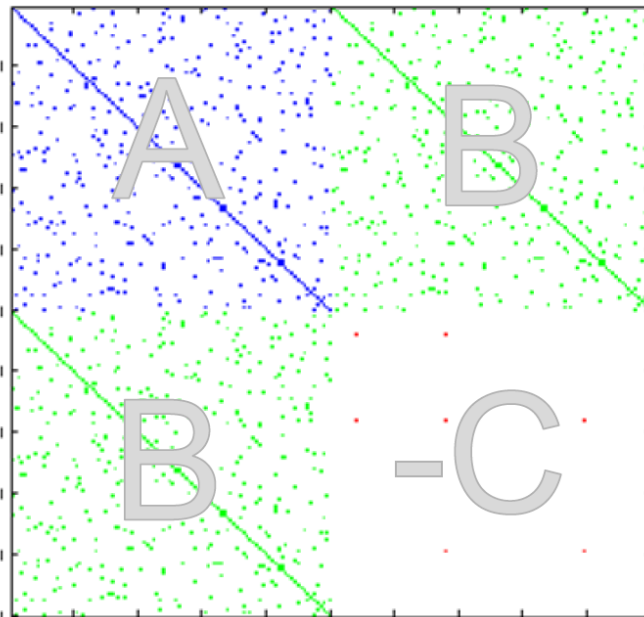
Contexte du problème

Problème à résoudre

$$\begin{bmatrix} -K(\theta) & K(\theta) - \omega_t^2 M(\theta) \\ K(\theta) - \omega_t^2 M(\theta) & \frac{r}{1-r} \Pi^T K_r \Pi \end{bmatrix} \begin{Bmatrix} \psi \\ \varphi \end{Bmatrix} = \begin{Bmatrix} 0 \\ \frac{r}{1-r} \Pi^T K_r \phi_t \end{Bmatrix}$$

Problème de type point selle

$$\begin{bmatrix} A & B^T \\ B & -C \end{bmatrix} \begin{bmatrix} x \\ y \end{bmatrix} = \begin{bmatrix} f \\ g \end{bmatrix}$$



Mise en œuvre d'une résolution directe: Introduction

- Problème linéaire creux de grande taille : $AX = B$
- Factorisation de la matrice A sous forme de LU , $L^T DL$ ou $L^T L$

Mise en œuvre d'une résolution directe: Introduction

- Problème linéaire creux de grande taille : $AX = B$
- Factorisation de la matrice A sous forme de LU , $L^T DL$ ou $L^T L$
- 3 phases dans la résolution directe :
 - Phase d'analyse ~ 20% du temps
 - Preprocessing de la matrice A : Mise en échelle / pivotage / renumérotation
 - Factorisation symbolique de A
 - Phase numérique
 - Phase de descente-remontée

• Résolution des systèmes triangulaires : $LY = B$ et $UX = Y$

~ 80% du temps

Mise en œuvre d'une résolution directe: Matrices creuses et élimination de Gauss

- Factorisation de la matrice A à l'aide de l'élimination de Gauss

$$\mathbf{A} = \mathbf{A}^{(1)}, \mathbf{b} = \mathbf{b}^{(1)}, \mathbf{A}^{(1)}\mathbf{x} = \mathbf{b}^{(1)}:$$

$$\begin{pmatrix} a_{11} & a_{12} & a_{13} \\ a_{21} & a_{22} & a_{23} \\ a_{31} & a_{32} & a_{33} \end{pmatrix} \begin{pmatrix} x_1 \\ x_2 \\ x_3 \end{pmatrix} = \begin{pmatrix} b_1 \\ b_2 \\ b_3 \end{pmatrix} \quad \begin{array}{l} 2 \leftarrow 2 - 1 \times a_{21}/a_{11} \\ 3 \leftarrow 3 - 1 \times a_{31}/a_{11} \end{array}$$

$$\mathbf{A}^{(2)}\mathbf{x} = \mathbf{b}^{(2)}$$

$$\begin{pmatrix} a_{11} & a_{12} & a_{13} \\ 0 & a_{22}^{(2)} & a_{23}^{(2)} \\ 0 & a_{32}^{(2)} & a_{33}^{(2)} \end{pmatrix} \begin{pmatrix} x_1 \\ x_2 \\ x_3 \end{pmatrix} = \begin{pmatrix} b_1 \\ b_2^{(2)} \\ b_3^{(2)} \end{pmatrix} \quad \begin{array}{l} b_2^{(2)} = b_2 - a_{21}b_1/a_{11} \dots \\ a_{32}^{(2)} = a_{32} - a_{31}a_{12}/a_{11} \dots \end{array}$$

$$\mathbf{A}^{(3)}\mathbf{x} = \mathbf{b}^{(3)}$$

$$\begin{pmatrix} a_{11} & a_{12} & a_{13} \\ 0 & a_{22}^{(2)} & a_{23}^{(2)} \\ 0 & 0 & a_{33}^{(3)} \end{pmatrix} \begin{pmatrix} x_1 \\ x_2 \\ x_3 \end{pmatrix} = \begin{pmatrix} b_1 \\ b_2^{(2)} \\ b_3^{(3)} \end{pmatrix} \quad a_{33}^{(3)} = a_{33}^{(2)} - a_{32}^{(2)}a_{23}^{(2)}/a_{22}^{(2)} \dots$$

$$a_{ij}^{(k+1)} = a_{ij}^{(k)} - \frac{a_{ik}^{(k)} a_{kj}^{(k)}}{a_{kk}^{(k)}}$$

Mise en œuvre d'une résolution directe: Matrices creuses et élimination de Gauss

- Factorisation de la matrice A à l'aide de l'élimination de Gauss

$$\mathbf{A} = \mathbf{A}^{(1)}, \mathbf{b} = \mathbf{b}^{(1)}, \mathbf{A}^{(1)}\mathbf{x} = \mathbf{b}^{(1)}:$$

$$\begin{pmatrix} a_{11} & a_{12} & a_{13} \\ a_{21} & a_{22} & a_{23} \\ a_{31} & a_{32} & a_{33} \end{pmatrix} \begin{pmatrix} x_1 \\ x_2 \\ x_3 \end{pmatrix} = \begin{pmatrix} b_1 \\ b_2 \\ b_3 \end{pmatrix} \quad \begin{array}{l} 2 \leftarrow 2 - 1 \times a_{21}/a_{11} \\ 3 \leftarrow 3 - 1 \times a_{31}/a_{11} \end{array}$$

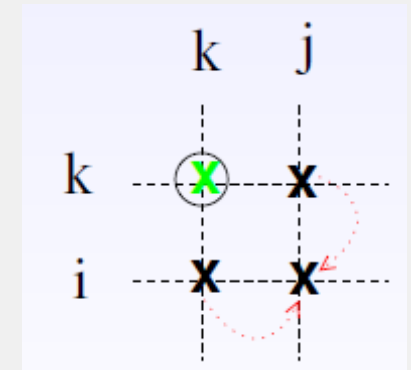
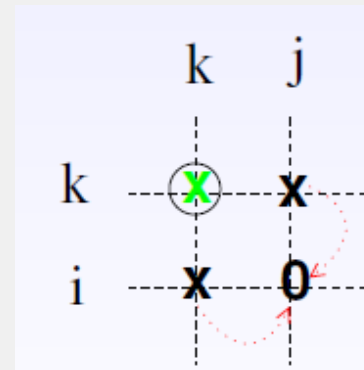
$$\mathbf{A}^{(2)}\mathbf{x} = \mathbf{b}^{(2)}$$

$$\begin{pmatrix} a_{11} & a_{12} & a_{13} \\ 0 & a_{22}^{(2)} & a_{23}^{(2)} \\ 0 & a_{32}^{(2)} & a_{33}^{(2)} \end{pmatrix} \begin{pmatrix} x_1 \\ x_2 \\ x_3 \end{pmatrix} = \begin{pmatrix} b_1 \\ b_2^{(2)} \\ b_3^{(2)} \end{pmatrix} \quad \begin{array}{l} b_2^{(2)} = b_2 - a_{21}b_1/a_{11} \dots \\ a_{32}^{(2)} = a_{32} - a_{31}a_{12}/a_{11} \dots \end{array}$$

$$\mathbf{A}^{(3)}\mathbf{x} = \mathbf{b}^{(3)}$$

$$\begin{pmatrix} a_{11} & a_{12} & a_{13} \\ 0 & a_{22}^{(2)} & a_{23}^{(2)} \\ 0 & 0 & a_{33}^{(3)} \end{pmatrix} \begin{pmatrix} x_1 \\ x_2 \\ x_3 \end{pmatrix} = \begin{pmatrix} b_1 \\ b_2^{(2)} \\ b_3^{(3)} \end{pmatrix} \quad a_{33}^{(3)} = a_{33}^{(2)} - a_{32}^{(2)}a_{23}^{(2)}/a_{22}^{(2)} \dots$$

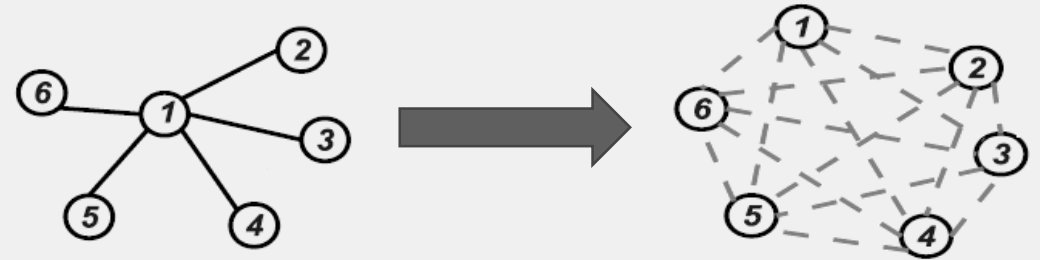
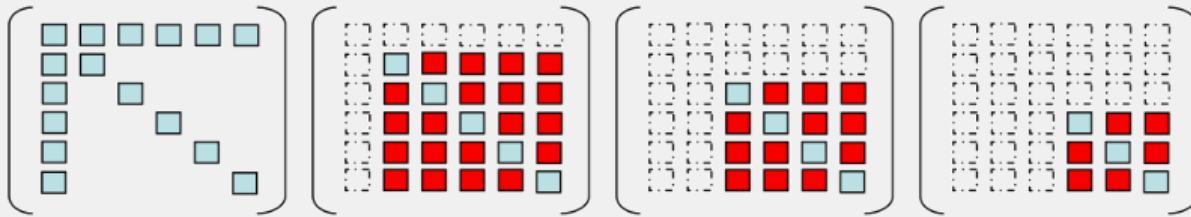
$$a'_{ij} = a_{ij} - l_{ik} \times a_{kj}$$



$$a_{ij}^{(k+1)} = a_{ij}^{(k)} - \frac{a_{ik}^{(k)} a_{kj}^{(k)}}{a_{kk}^{(k)}}$$

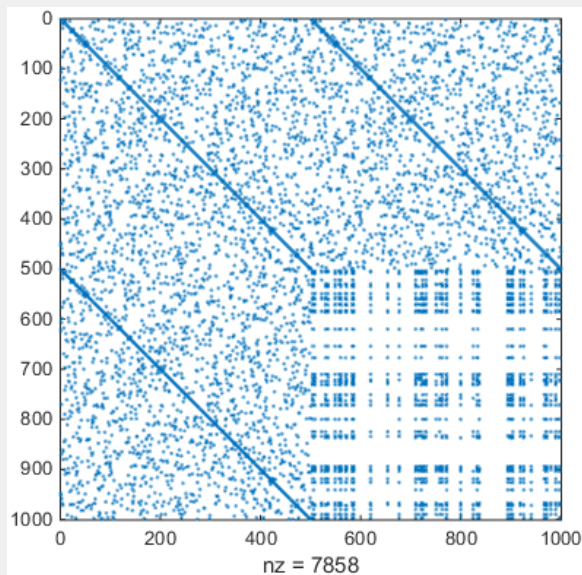
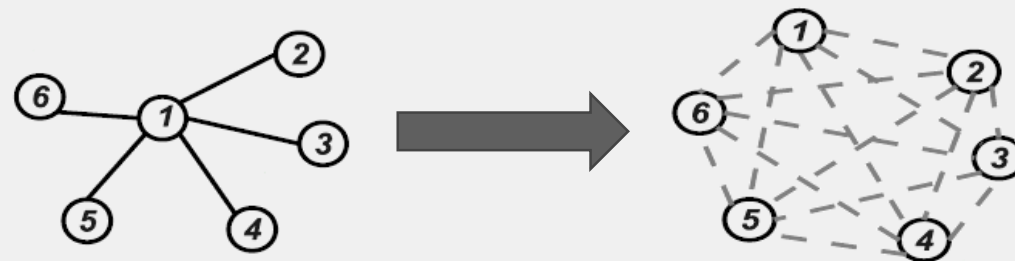
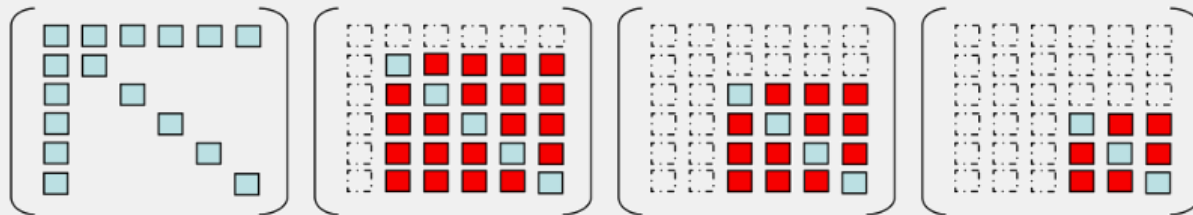
Mise en œuvre d'une résolution directe: Phénomène de remplissage (Fill-in)

- Interprétation graphique et matricielle

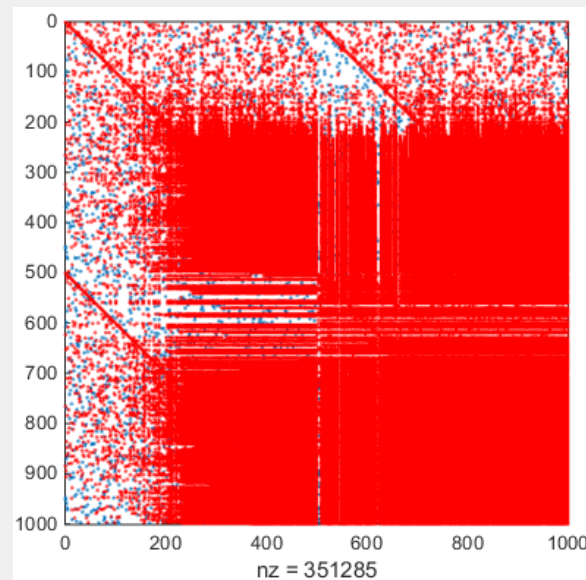


Mise en œuvre d'une résolution directe: Phénomène de remplissage (Fill-in)

- Interprétation graphique et matricielle



Factorisation LU



- Temps de factorisation très importants
- Augmentation de la taille mémoire utilisée

Gestion obligatoire du remplissage

Plan

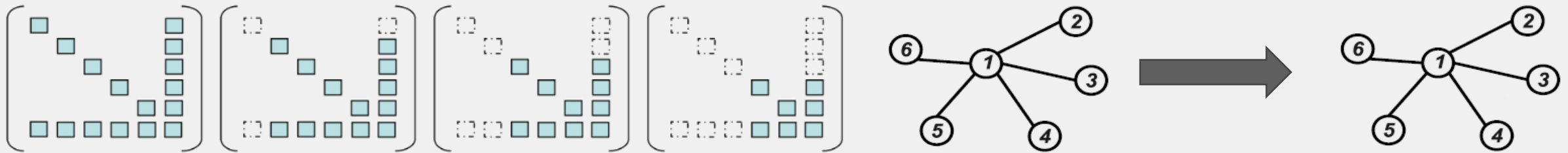
1. Motivation

2. Renumérotation

3. Pivotage

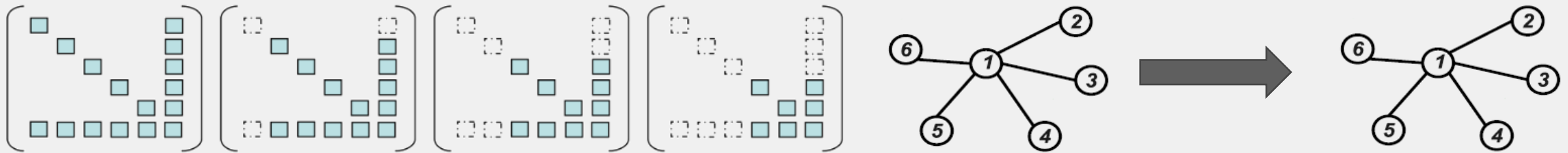
Mise en œuvre d'une résolution directe: Preprocessing : renumérotation

Renumérotation pour la minimisation du remplissage



Mise en œuvre d'une résolution directe: Preprocessing : renumérotation

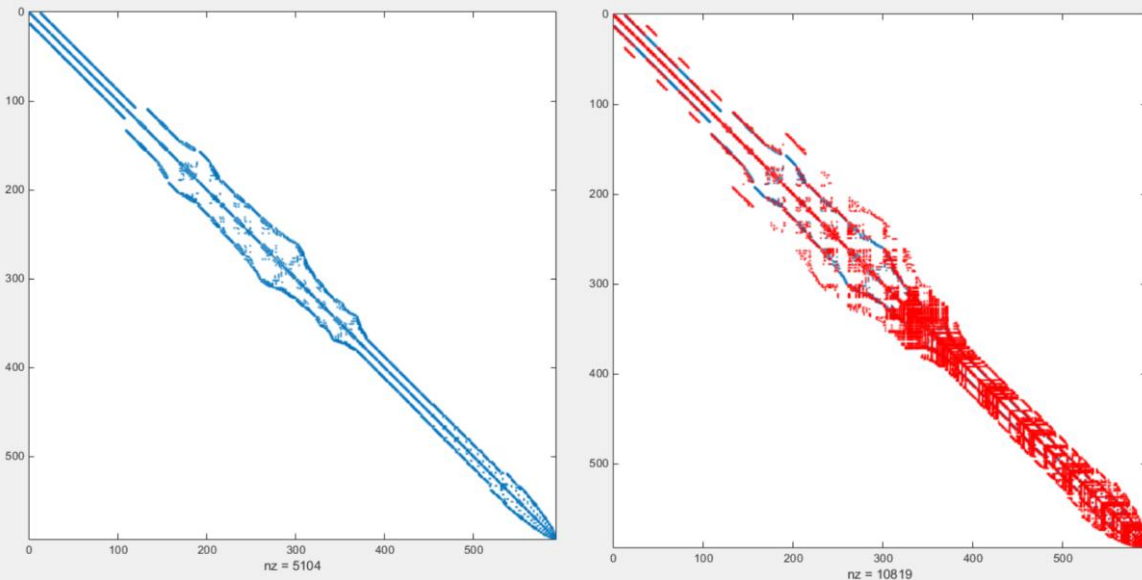
Renumérotation pour la minimisation du remplissage



- Problème combinatoire *NP – complet* [Yannakis '83]
- Utilisation des heuristiques :
 - Méthodes de réduction de bande : Reverse Cuthill-McKee
 - Méthodes de degré minimum : Minimum degree (MD) et ses variantes (AMD, ...)
 - Méthodes de partitionnement de graphes: Nested dissection, multilevel partitioning

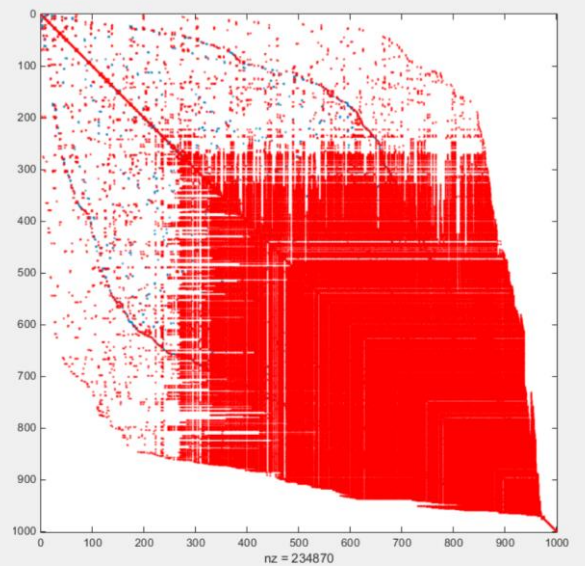
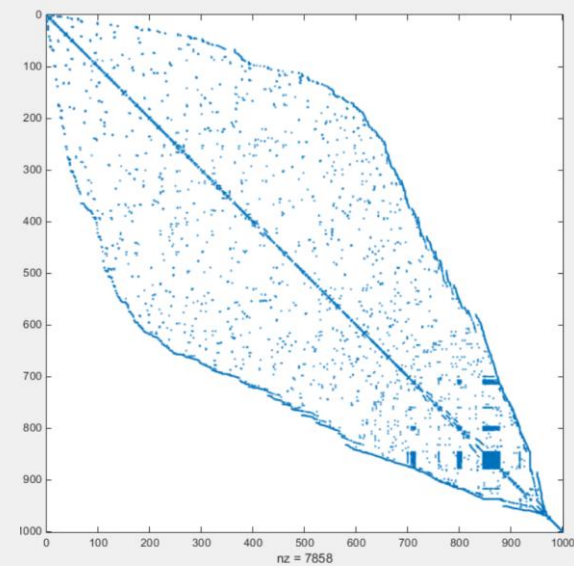
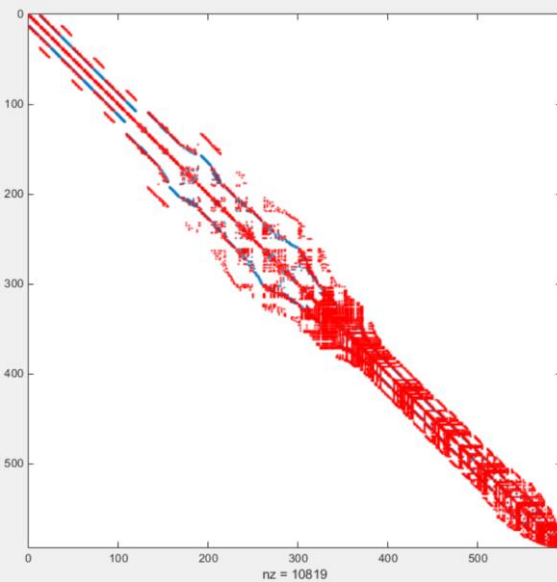
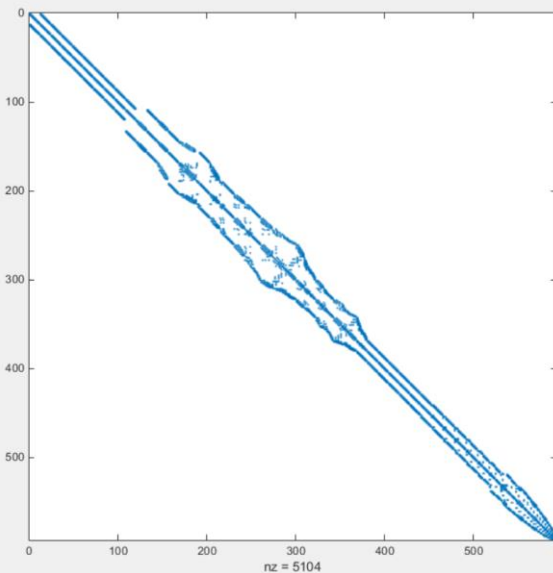
Mise en œuvre d'une résolution directe: Preprocessing : renumérotation

Illustrations : Méthodes de réduction de bande : Reverse Cuthill-McKee



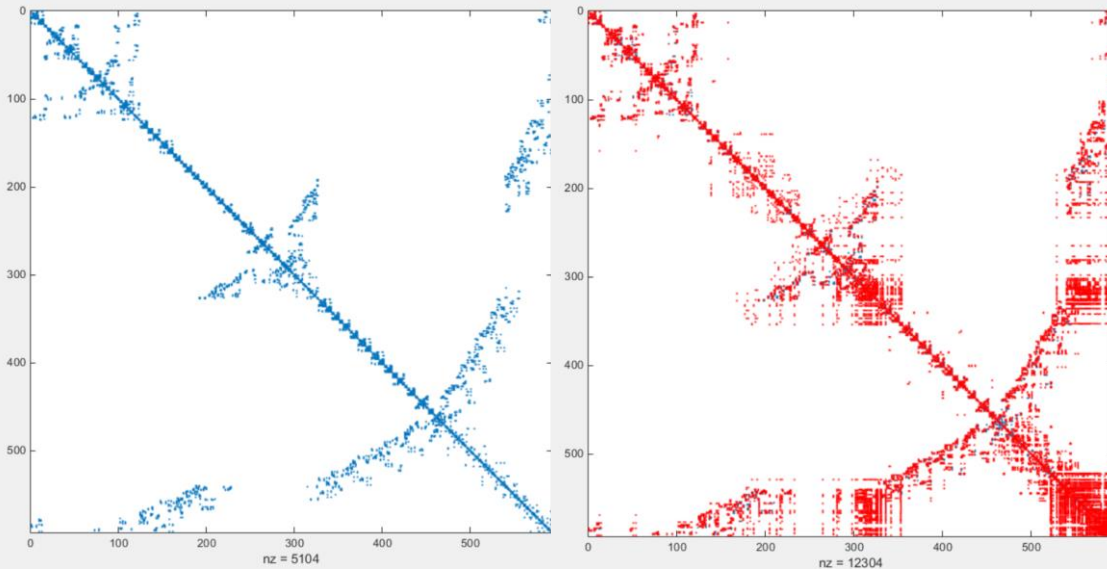
Mise en œuvre d'une résolution directe: Preprocessing : renumérotation

Illustrations : Méthodes de réduction de bande : Reverse Cuthill-McKee



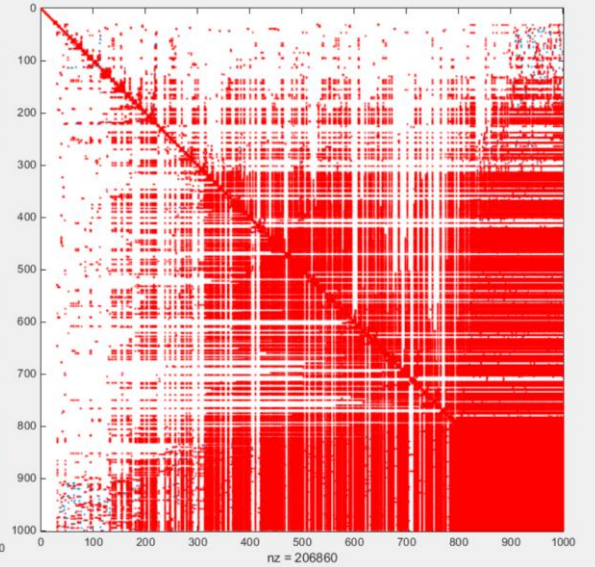
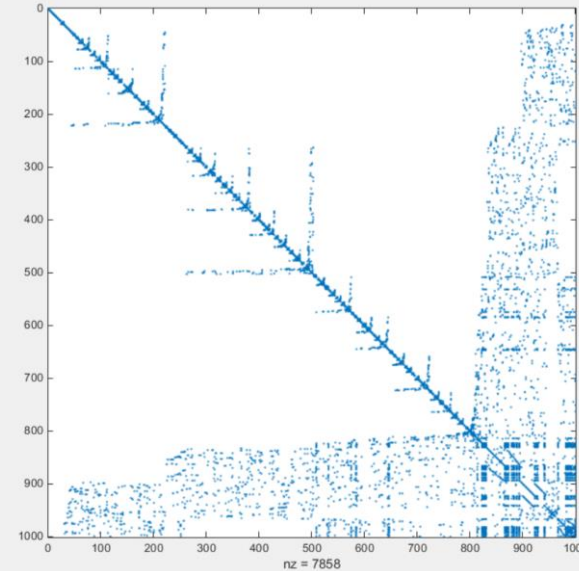
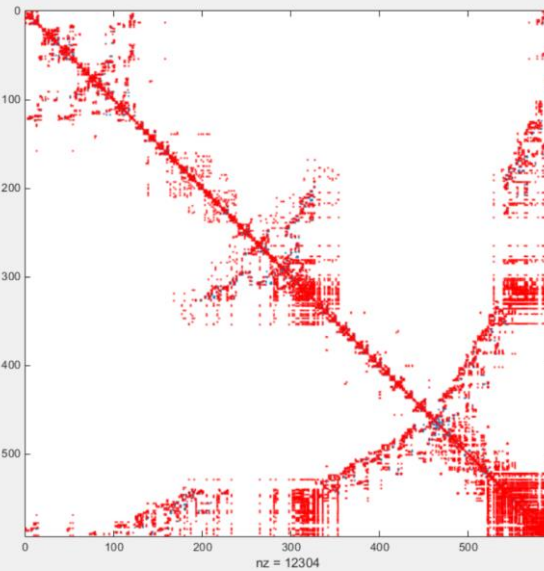
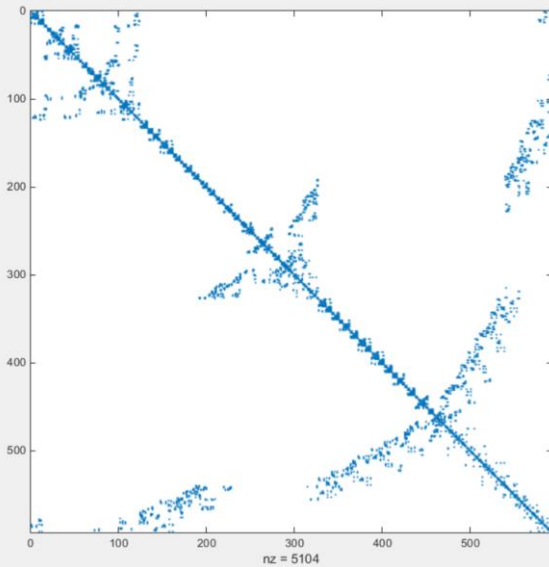
Mise en œuvre d'une résolution directe: Preprocessing : renumérotation

Illustrations : Méthodes de degré minimum : Minimum degree



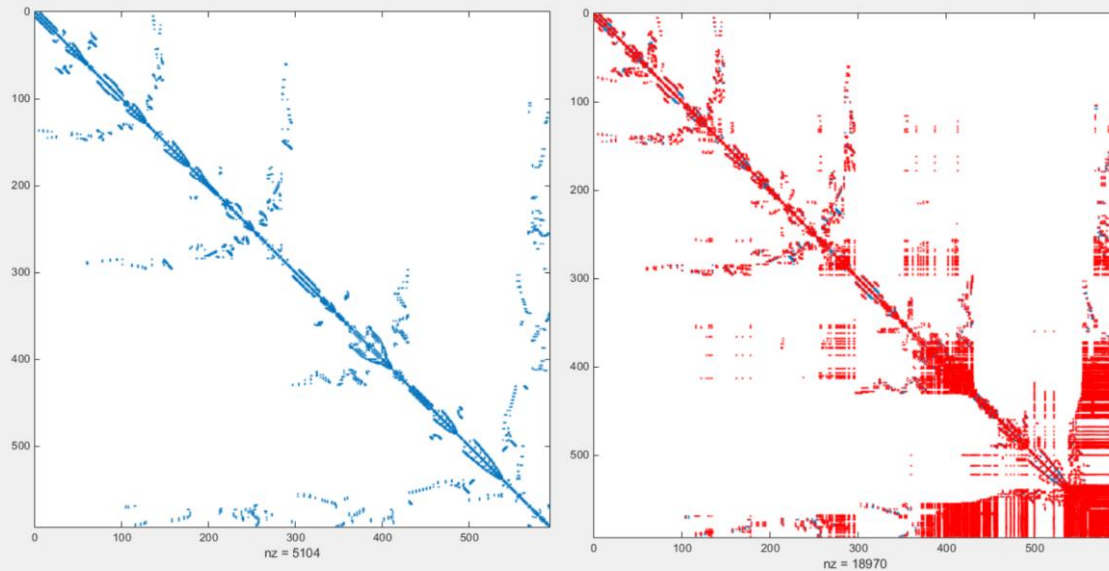
Mise en œuvre d'une résolution directe: Preprocessing : renumérotation

Illustrations : Méthodes de degré minimum : Minimum degree



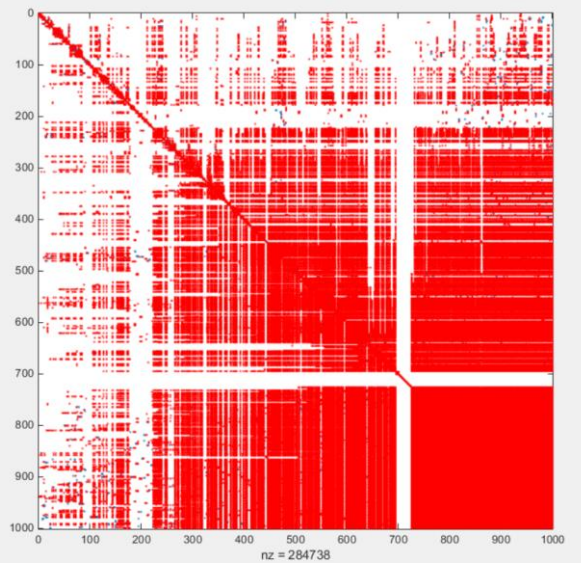
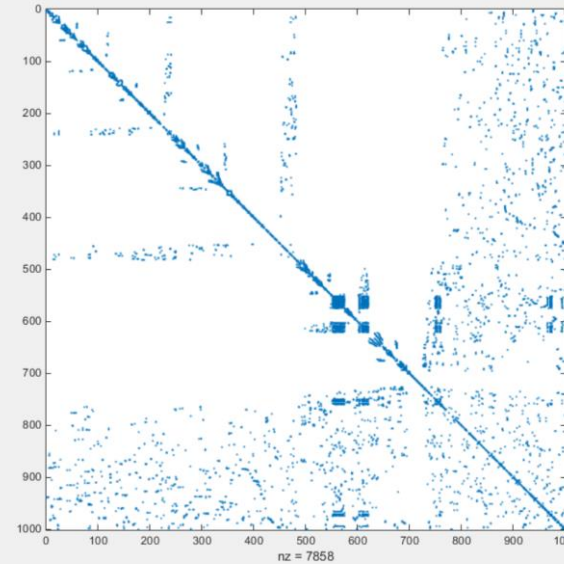
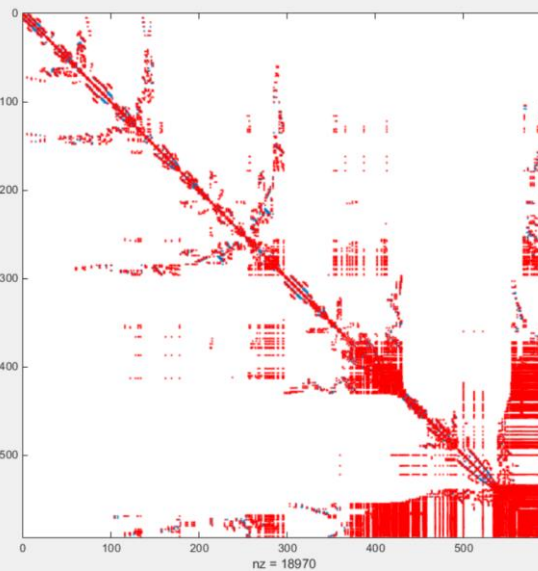
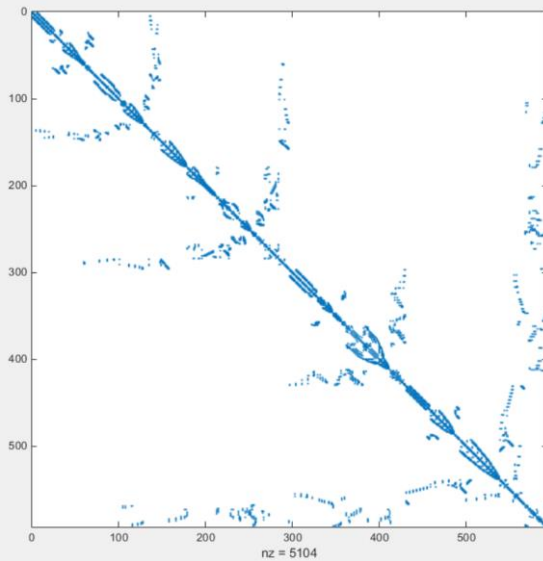
Mise en œuvre d'une résolution directe: Preprocessing : renumérotation

Illustrations : Méthodes de partitionnement de graphes : Nested dissection



Mise en œuvre d'une résolution directe: Preprocessing : renumérotation

Illustrations : Méthodes de partitionnement de graphes : Nested dissection



Plan

1. Motivation

2. Renumérotation

3. Pivotage

Mise en œuvre d'une résolution directe: Preprocessing : pivotage

Exemple : $\begin{pmatrix} \epsilon & 1 \\ 1 & 1 \end{pmatrix} \begin{pmatrix} x_1 \\ x_2 \end{pmatrix} = \begin{pmatrix} 1 + \epsilon \\ 2 \end{pmatrix}$ Solution exacte $x^* = (1,1)$

$$A = \begin{pmatrix} \epsilon & 1 \\ 1 & 1 \end{pmatrix} = \begin{pmatrix} 1 & 0 \\ \frac{1}{\epsilon} & 1 \end{pmatrix} \times \begin{pmatrix} \epsilon & 1 \\ 0 & 1 - \frac{1}{\epsilon} \end{pmatrix}$$

ϵ	Erreur relative
10^{-3}	6×10^{-6}
10^{-9}	9×10^{-8}
10^{-15}	7×10^{-2}

Mise en œuvre d'une résolution directe: Preprocessing : pivotage

Exemple : $\begin{pmatrix} \epsilon & 1 \\ 1 & 1 \end{pmatrix} \begin{pmatrix} x_1 \\ x_2 \end{pmatrix} = \begin{pmatrix} 1 + \epsilon \\ 2 \end{pmatrix}$ Solution exacte $x^* = (1,1)$

$$A = \begin{pmatrix} \epsilon & 1 \\ 1 & 1 \end{pmatrix} = \begin{pmatrix} 1 & 0 \\ \frac{1}{\epsilon} & 1 \end{pmatrix} \times \begin{pmatrix} \epsilon & 1 \\ 0 & 1 - \frac{1}{\epsilon} \end{pmatrix}$$

ϵ	Erreur relative
10^{-3}	6×10^{-6}
10^{-9}	9×10^{-8}
10^{-15}	7×10^{-2}

- L'élimination de Gauss peut introduire des erreurs numériques à travers **les petits pivots**
- La renumérotation utilisée peut engendrer ce problème
- Stratégie à adopter : le pivotage
 - Permutation des lignes et /ou colonnes pour choisir un pivot plus grand

Exemple : Permutation des lignes 1 et 2 $\begin{pmatrix} 1 & 1 \\ \epsilon & 1 \end{pmatrix} \begin{pmatrix} x_2 \\ x_1 \end{pmatrix} = \begin{pmatrix} 2 \\ 1 + \epsilon \end{pmatrix}$

Plus d'erreur !

Mise en œuvre d'une résolution directe: Preprocessing : pivotage

- Pivotage partiel:
 - Issu du calcul matriciel dense
 - Principe : Choisir à chaque élimination le plus grand élément de la colonne / ligne

Mise en œuvre d'une résolution directe: Preprocessing : pivotage

- Pivotage partiel:
 - Issu du calcul matriciel dense
 - Principe : Choisir à chaque élimination le plus grand élément de la colonne / ligne
- Pivotage partiel avec seuil :
 - Plus adapté au calcul creux
 - Flexibilité pour la préservation de l'aspect creux
 - Principe : Choisir à chaque élimination parmi les éléments de la colonne/ ligne, l'élément qui a la plus grande valeur tout en évitant le remplissage

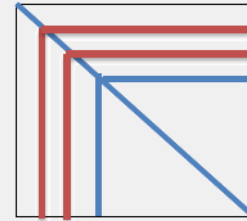
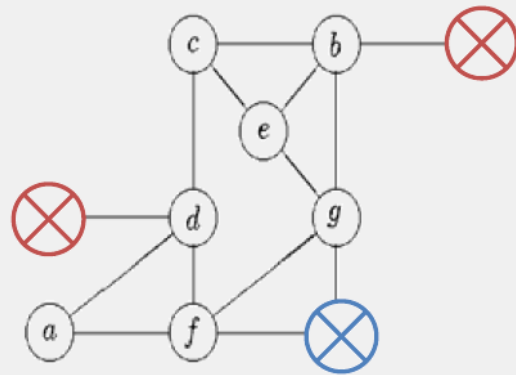
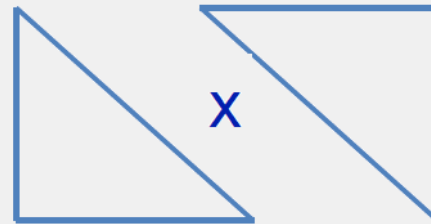
Mise en œuvre d'une résolution directe: Preprocessing : pivotage

- Pivotage partiel:
 - Issu du calcul matriciel dense
 - Principe : Choisir à chaque élimination le plus grand élément de la colonne / ligne
- Pivotage partiel avec seuil :
 - Plus adapté au calcul creux
 - Flexibilité pour la préservation de l'aspect creux
 - Principe : Choisir à chaque élimination parmi les éléments de la colonne/ ligne, l'élément qui a la plus grande valeur tout en évitant le remplissage
- Mais :
 - Affecte le remplissage
 - Détruit la symétrie de la matrice
 - Augmente les temps d'accès aux données (nécessite des structures de données dynamiques)

Mise en œuvre d'une résolution directe: Algorithme développé

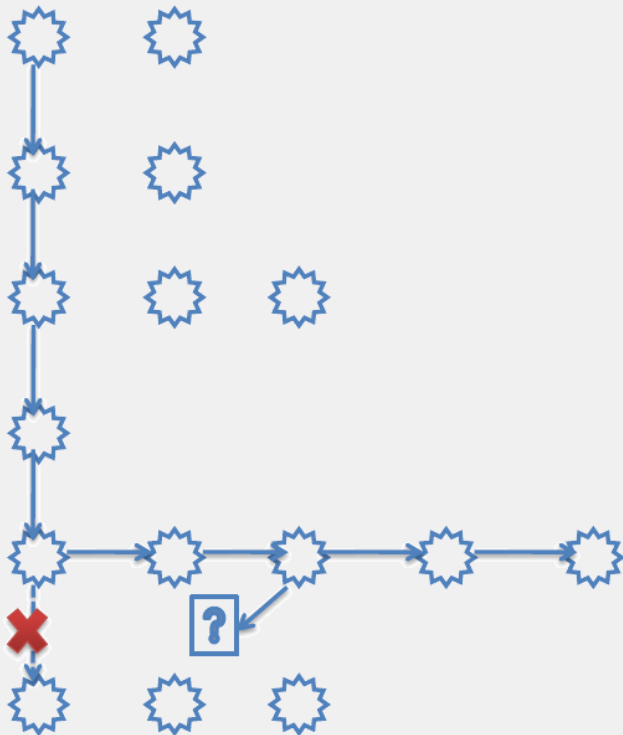
Idée : Fusionner la renumérotation et la factorisation numérique

Minimum degree



Mise en œuvre d'une résolution directe: Algorithme développé

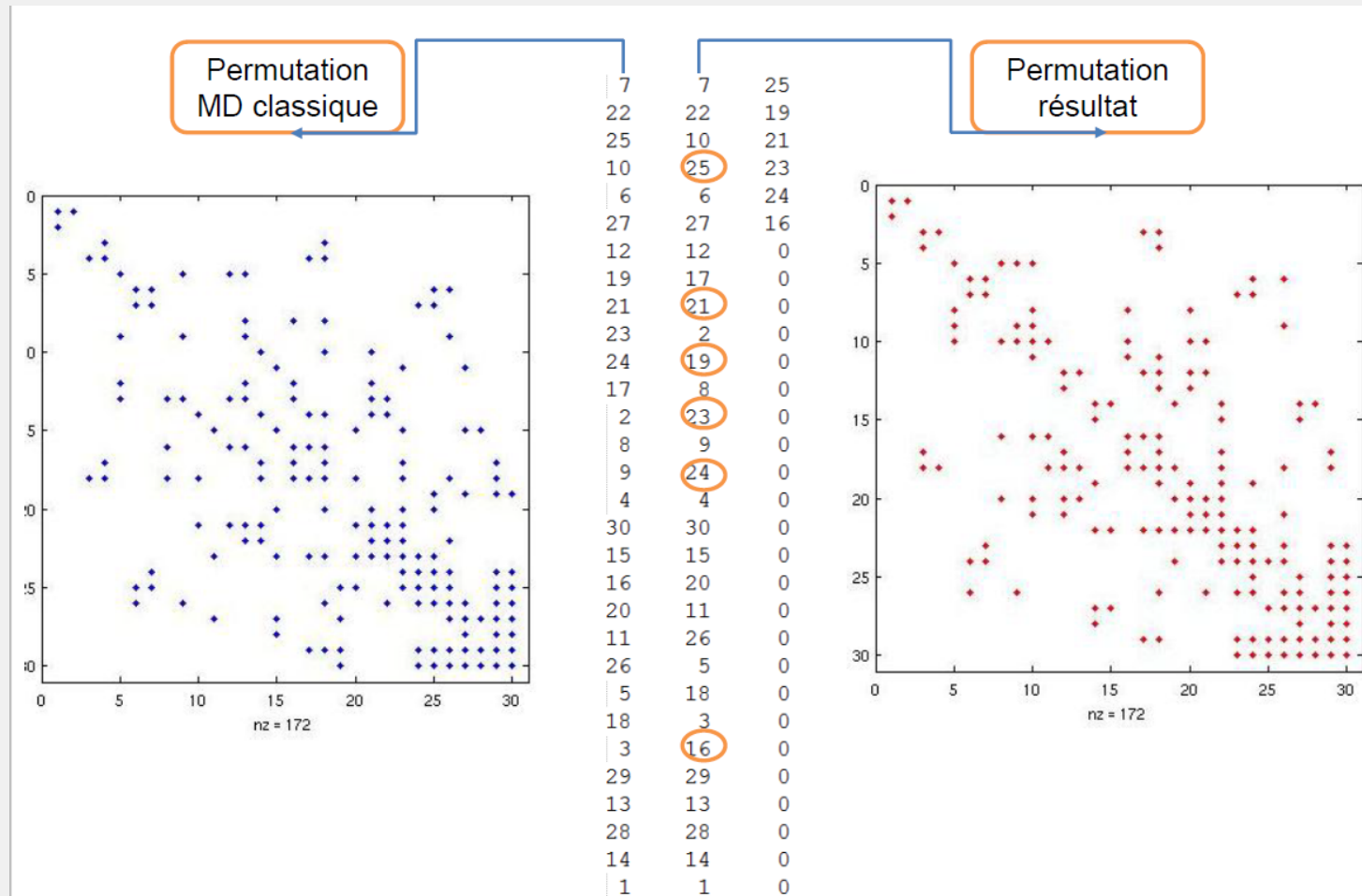
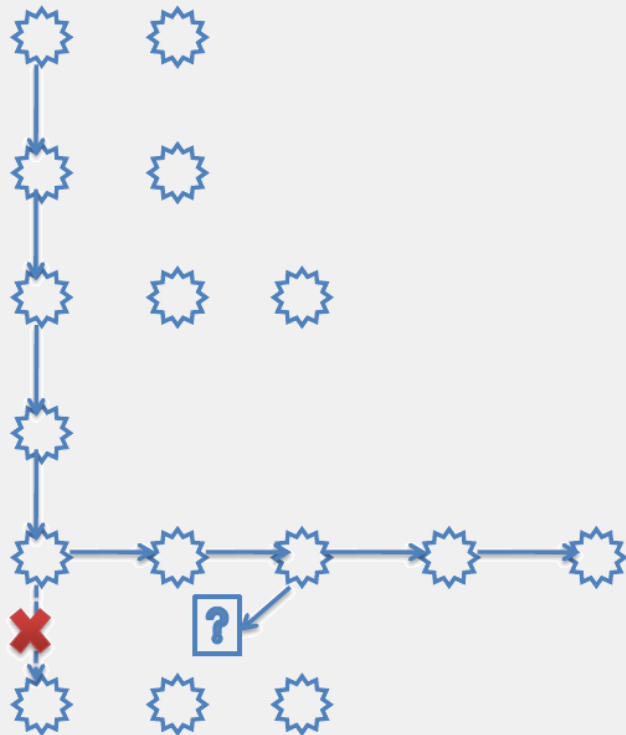
- tie breaking ?
 - Le cas de grandes structures 3D



Mise en œuvre d'une résolution directe: Algorithme développé

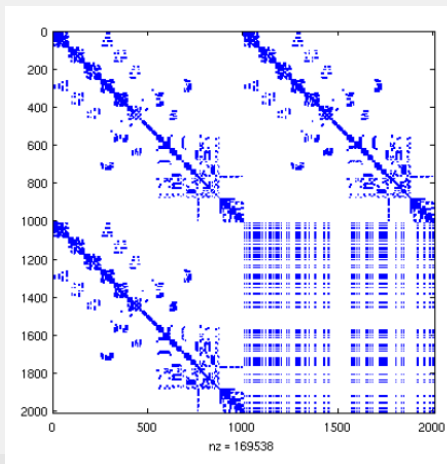
- tie breaking ?

- Le cas de grandes structures 3D



Mise en œuvre d'une résolution directe: Résultats

- Meilleure réduction de remplissage par rapport :
 - Aux algorithmes minimum degree
 - Au meilleur solveur supernodal (SuperLU)
 - Au solveur multifrontal UMFPACK
 - Moins de succès par rapport au :
 - solveur multifrontal MUMPS + renumérotation
- Nested dissection (METIS/SCOTCH/PORD)



Matrice de taille 2006×2006
Nombre de non-zéros 169.538

Preordering algorithm	The matrix	A
	Fill-in	Ratio (%)
<i>Algorithme 1</i>	850,645	5.64
<i>MUMPS</i>		
no ordering	1,138,846	5.01
AMF	997,258	5.88
AMD	878,848	5.18
PORD	586,120	3.46
METIS	573,732	3.38
SCOTCH	663,332	3.91
<i>SuperLU</i>		
no ordering	2,066,378	12.18
$MMD(A^T A)$	709,877	4.18
$MMD(A^T + A)$	1,002,364	5.91
COLAMD	908,325	5.35
<i>KLU</i>		
no ordering	2,023,728	11.93
AMD	1,209,241	7.12
COLAMD	1,069,834	6.31
<i>Umfpack</i>		
CHOLAMD	914,271	5.39

Conclusions et perspectives

- Des résultats réconfortants par rapport aux solveurs directs existants
- Le remplissage reste très grand
- Factorisation symbolique élémentaire

Conclusions et perspectives

- Des résultats réconfortants par rapport aux solveurs directs existants
 - Le remplissage reste très grand
 - Factorisation symbolique élémentaire
-
- Orientation vers les méthodes itératives
 - Le préconditionnement



Merci pour votre attention